

# Высокотемпературный ферромагнетизм нестехиометрических сплавов $\text{Si}_{1-x}\text{Mn}_x$ ( $x \approx 0.5$ )

**B. B. Рыльков<sup>1)</sup>, С. Н. Николаев, К. Ю. Черноглазов, Б. А. Аронзон, К. И. Маслаков<sup>+</sup>, В. В. Тугушев<sup>1)</sup>, Э. Т. Кулатов\*, И. А. Лихачев, Э. М. Пашаев, А. С. Семисалова<sup>+</sup>, Н. С. Перов<sup>+</sup>, А. Б. Грановский<sup>+</sup>, Е. А. Ганьшина<sup>+</sup>, О. А. Новодворский<sup>×</sup>, О. Д. Храмова<sup>×</sup>, Е. В. Хайдуков<sup>×</sup>, В. Я. Панченко<sup>×</sup>**

Национальный исследовательский центр “Курчатовский институт”, 123182 Москва, Россия

\* Московский государственный университет им. Ломоносова, 119991 Москва, Россия

<sup>+</sup> Институт общей физики им. Прохорова РАН, 119991 Москва, Россия

<sup>×</sup> Институт проблем лазерных и информационных технологий РАН, 140700 Шатура, Россия

Поступила в редакцию 12 июля 2012 г.

Обнаружено, что в нестехиометрических сплавах  $\text{Si}_{1-x}\text{Mn}_x$ , содержащих небольшой избыток Mn ( $x \approx 0.52\text{--}0.55$ ) относительно стехиометрического моносилицида марганца MnSi, температура Кюри ( $T_C \sim 300$  К) возрастает более чем на порядок по сравнению с MnSi ( $T_C \approx 30$  К). При этом концентрация носителей заряда (дырок) резко падает, а их подвижность при  $\sim 100$  К на порядок увеличивается по сравнению с MnSi. Высокотемпературный ферромагнетизм объясняется формированием дефектов с локализованными магнитными моментами (ЛММ) и непрямым их обменом через парамагнитные флуктуации спиновой плотности дырок. Существование дефектов с ЛММ в сплавах  $\text{Si}_{1-x}\text{Mn}_x$  с  $x \approx 0.52\text{--}0.55$  подтверждается численными расчетами в рамках метода функционала электронной плотности. Рост подвижности дырок связывается с разрушением в нестехиометрическом материале кондовских (или спин-полярных) резонансов, предположительно имеющих место в MnSi.

1. В последнее время значительное внимание уделяется созданию и исследованиям свойств магнитных полупроводниковых систем на основе элементов IV группы, в частности сплавов  $\text{Si}_{1-x}\text{Mn}_x$ . Такие материалы привлекательны в плане создания элементов спинtronики, легко интегрируемых в существующую микроэлектронную технологию [1]. Кроме того, данные сплавы интересны своими необычными магнитными свойствами, которые не могут быть адекватно объяснены в рамках известных теоретических моделей (см., например, [2, 3] и ссылки там).

Недавно в пленках  $\text{Si}_{1-x}\text{Mn}_x$  с составом  $x \approx 0.35$  нами был обнаружен ферромагнетизм (ФМ) при комнатных температурах, сопровождаемый проявлением аномального эффекта Холла (АЭХ) [4]. Полученные результаты были интерпретированы в рамках модели [3], основанной на предположении о формировании в изучаемом материале нестехиометрической матрицы (полупроводниковой или полуметаллической), содержащей высшие силициды марганца со структурой типа *chimney ladder* и составом, близким к  $\text{MnSi}_{1.72\text{--}1.75}$  (см. [5] и ссылки там). Стехиометрические силициды указанного типа являются слабыми зонными ФМ с относительно низкой “собст-

венной” температурой Кюри ( $T_C^0 < 50$  К) и сильно развитыми спиновыми флуктуациями (парамагнонами) при температурах выше  $T_C^0$ . Согласно модели [3] из-за отклонения состава матрицы от стехиометрии в ней возникают дефекты с более или менее локализованными магнитными моментами (ЛММ) на нескомпенсированных гибридизованных орбиталах Si и Mn. Было показано, в частности, что роль таких дефектов могут играть ваканции кремния [5]. Обмен между магнитными моментами дефектов через парамагноны матрицы приводит к сильному возрастанию “истинной” температуры Кюри  $T_C$  по сравнению с  $T_C^0$ . Последующие исследования показали, что получение хорошо воспроизводимых магнитных сплавов типа  $\text{Si}_{1-x}\text{Mn}_x$  ( $x \approx 0.35$ ) проблематично в силу многообразия (не менее пяти) устойчивых фаз высших силицидов типа *chimney ladder*.

В данной работе изучаются магнитные свойства пленок  $\text{Si}_{1-x}\text{Mn}_x$  с совершенно иным, чем в [4], содержанием Mn,  $x \approx 0.5$ , что по номинальному составу близко к металлическому моносилициду марганца MnSi. Согласно традиционной точке зрения стехиометрический MnSi ниже температуры Кюри ( $T_C^0 \approx 29$  К) является слабым геликоидальным зонным ФМ, а в парамагнитной фазе ( $T > T_C^0$ ) в этом материале имеют место сильные спиновые флукту-

<sup>1)</sup> e-mail: vvrylkov@mail.ru; tuvictor@mail.ru

ации, определяющие особенности его магнитных и транспортных свойств [6, 7]. Важным аргументом в пользу этой точки зрения считается тот факт, что магнитный момент на атом Mn, найденный из измерений намагниченности насыщения в области низких температур ( $\approx 0.4\mu_B/Mn$  при  $T = 1.4\text{ K}$ ), существенно меньше эффективного магнитного момента  $\approx 2.2\mu_B/Mn$ , оцененного из кюри-вейссовского поведения магнитной восприимчивости в парамагнитной фазе [7]. На первый взгляд в нестехиометрических сплавах на основе моносилицида MnSi, содержащих магнитные дефекты, по аналогии с подобными сплавами на основе высших силицидов типа chimney ladder можно ожидать значительного усиления обмена и проявления высокотемпературного ФМ-упорядочения моментов этих дефектов по механизму [3] с температурой Кюри  $T_C \gg T_C^0$ . Однако при более внимательном рассмотрении ситуация оказалась не столь очевидной. Это связано с возможным наличием кондукторских или спин-поляронных резонансов в стехиометрическом MnSi и их разрушением в нестехиометрических пленках  $Si_{1-x}Mn_x$ . Обсуждение ряда деликатных особенностей механизма [3] в этих условиях мы проведем после изложения основных результатов работы.

**2.** Пленки  $Si_{1-x}Mn_x$  толщиной 55–70 нм с различным содержанием Mn ( $x = 0.44$ – $0.6$ ) были получены методом импульсного лазерного осаждения (ИЛО) с использованием сепарации осаждаемых частиц по скорости с управлением энергетическим спектром ионов лазерного эрозионного факела [8]. Осаждение слоев  $Si_{1-x}Mn_x$  на подложки  $Al_2O_3$  (0001) осуществлялось в вакууме  $< 10^{-6}$  Торр при температуре  $340^\circ\text{C}$  со скоростью 1.5 нм/мин. Шероховатость поверхности пленок Si, полученных подобным образом, не превышала 1 нм. Для исследования транспортных свойств с использованием масок были изготовлены структуры  $Si_{1-x}Mn_x/Al_2O_3$  в форме двойного холловского креста с шириной проводящего канала  $W = 1.2$  мм и расстоянием между потенциальными зондами  $L = 1.4$  мм. Одновременно для изучения структурных особенностей и состава пленок создавались образцы прямоугольной формы размером  $4.4 \times 5.0$  мм<sup>2</sup>.

Структурные особенности пленок были исследованы методом рентгеновского дифракционного анализа на дифрактометре Rigaku SmartLab без использования монохроматора и диафрагмы перед детектором. При этом в спектре падающего излучения присутствовали характеристические линии  $CuK_{\alpha 1}$ ,  $CuK_{\alpha 2}$  и  $CuK_{\beta 1}$ , а интенсивность прямого пучка достигала  $1.5 \cdot 10^9$  имп./с. Состав пленок определялся мето-

дом рентгеновской фотоэлектронной спектроскопии (РФЭС) на спектрометре Quantera SXM. Измерения проводились в вакууме  $\approx 10^{-8}$  мбар после очистки поверхности пленок ионами аргона с энергией 2 кВ в течение 60 с. Толщина снятого слоя составляла около 5–10 нм.

Исследования транспортных свойств (проводимости и эффекта Холла) осуществлялись с помощью вакуумированной вставки со сверхпроводящим соленоидом, погружаемой в транспортный гелиевый сосуд Дьюара, в диапазоне температур 5–100 К в магнитном поле величиной до 2.5 Тл. Измерения при относительно высоких температурах (77–300 К) выполнялись в азотном Дьюаре. При этом магнитное поле ( $\leq 1$  Тл) создавалось электромагнитом. Измерения намагниченности образцов  $Si_{1-x}Mn_x$  были выполнены с помощью вибрационного магнитометра VSM Lake Shore 7407 (с чувствительностью не ниже  $10^{-5}$  Гс·см<sup>3</sup>) в полях до 15 кЭ в диапазоне температур 90–400 К. При измерениях поле было ориентировано параллельно плоскости образцов.

**3.** С помощью специальных экспериментов на пластинах из чистого Mn (99.9 ат.%) было установлено, что заметное проявление углерода и кислорода в рентгеновских фотоэлектронных спектрах объясняется их адсорбцией на химически активной поверхности пластин даже в условиях относительно высокого вакуума ( $\approx 10^{-8}$  мбар). В связи с этим исследования РФЭС служили в первую очередь для анализа соотношения кремния и марганца в пленках  $Si_{1-x}Mn_x$ :  $y = (1 - x)/x$ . При расчете величины  $y$  использовались данные работы [9]. В ней исследовался моноокристалл MnSi, поверхность которого была изготовлена путем его скола непосредственно в вакуумной камере спектрометра.

Анализ состава пленок методом РФЭС позволил отобрать для исследований образцы  $Si_{1-x}Mn_x$  с различным содержанием марганца:  $x = 1/(1 + y) = 0.44$ – $0.63$ . Параметры наиболее интересных из них совместно с результатами транспортных и магнитных измерений приведены в таблице. Образцы J0806 и J2112 примечательны тем, что отличаются от состава MnSi в сторону обогащения и обеднения по Si приблизительно на одинаковую величину:  $\Delta x/x \approx 10\%$ . Образец J0504 с наибольшим содержанием Mn ( $x \approx 0.625$ ) является контрольным. Он соответствует силициду  $Mn_5Si_3$ , в котором в отсутствие остаточных примесей углерода наблюдается антиферромагнитное упорядочение при концентрациях  $N_C < 2$  ат.% [10] и ФМ-упорядочение при  $N_C > 2$  ат.%. Наконец, образец J0604 обладает достаточно близким к MnSi соотношением компонент.

Параметры структур  $\text{Si}_{1-x}\text{Mn}_x/\text{Al}_2\text{O}_3(0001)$ 

Образец	Толщина пленки $d$ , нм	Содержание Mn $x$	Удельное сопротивление при $T \approx 300$ К $\rho_{xx}$ , мОм·см	Концентрация дырок при $T \approx 100$ К $p$ , $10^{21} \text{ см}^{-3}$	Температуры Кюри ферромагнитных фаз <sup>1)</sup> $T_{C1}$ ( $T_{C2}$ ), К
J0806	55	0.44	0.77	4 <sup>2)</sup>	ФМ отсутствует при $T \geq 100$ К
J0604	70	$\approx 0.52$	0.18	1.5	330
J2112	60	0.55	0.44	2.2	230 (490)
J0504	75	0.625	0.3	15	ФМ отсутствует при $T \geq 100$ К

<sup>1)</sup>Образец J2112 демонстрирует наличие двух ФМ-фаз.

<sup>2)</sup>В образце J0806 концентрация носителей заряда заметно возрастает с ростом температуры и достигает  $1.2 \cdot 10^{22} \text{ см}^{-3}$  при  $T \approx 300$  К.

На рис. 1 приведены фотоэлектронные спектры линий Si2p и Mn3p для образца J0604 в сравнении со

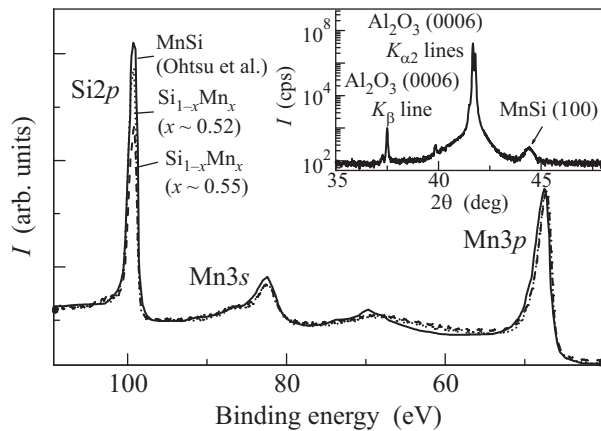


Рис. 1. Сравнение рентгеновских фотоэлектронных спектров линий Si2p и Mn3p для структур  $\text{Si}_{1-x}\text{Mn}_x/\text{Al}_2\text{O}_3$  с  $x \approx 0.52$  и  $0.55$ , полученных после очистки поверхности ионами аргона в течение 60 с, со спектрами для монокристалла MnSi из [9]. На вставке – спектр рентгеновской дифракции для структуры  $\text{Si}_{1-x}\text{Mn}_x/\text{Al}_2\text{O}_3$  с  $x \approx 0.52$ .

спектрами для монокристалла MnSi, полученными в [9], а также со спектрами для образца с  $x \approx 0.55$ . Видно, что этот образец демонстрирует небольшой недостаток Si по сравнению с MnSi. Оценочное значение  $y$  для данного образца оказывается на несколько процентов меньше единицы и отвечает  $x \approx 0.52$ .

Результаты рентгеновских дифракционных измерений для структуры  $\text{Si}_{1-x}\text{Mn}_x/\text{Al}_2\text{O}_3(0001)$  с  $x \approx 0.52$  (образец J0604) представлены на вставке к рис. 1. Дифракционная кривая содержит интенсивные пики отражений от  $\text{Al}_2\text{O}_3(0006)$  для линий  $\text{Cu}K_{\alpha 1}$ ,  $\text{Cu}K_{\alpha 2}$  и  $\text{Cu}K_{\beta 1}$ . Кроме этих пиков, приведенная кривая содержит при угле  $2\theta = 44.43^\circ$  шир-

рокий пик от пленки MnSi(100) для линии  $\text{Cu}K_{\alpha}$ . Интегральной характеристикой структурного совершенства пленки является ширина кривой качания на половине высоты пика ( $\text{FWHM}_{\omega}$ ). Для данной пленки параметр  $\text{FWHM}_{\omega}$  при  $2\theta = 44.43^\circ$  составляет  $\Delta\omega \approx 0.4^\circ$ , тогда как для монокристаллической пленки такой толщины величина  $\text{FWHM}_{\omega}$  должна составлять около 250 угловых секунд. Столь широкий пик от пленки свидетельствует о сильной мозаичности исследуемой структуры, а также о содержании большого количества кристаллических дефектов.

На рис. 2 показаны температурные зависимости удельного сопротивления  $\rho_{xx}(T)$  для структур из таб-

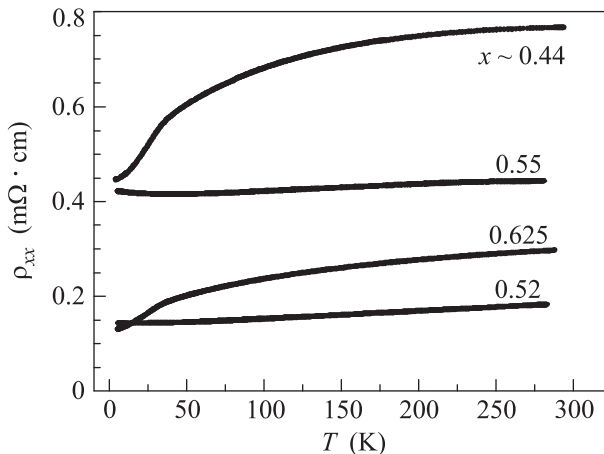


Рис. 2. Температурные зависимости удельного сопротивления для структур  $\text{Si}_{1-x}\text{Mn}_x/\text{Al}_2\text{O}_3$  с различным содержанием Mn ( $x \approx 0.44$ , 0.52, 0.55 и 0.625)

лицы. Минимальное удельное сопротивление наблюдается для образца J0604, обладающего наименьшей нестехиометрией и, следовательно, наименьшим содержанием структурных дефектов. Однако падение сопротивления в этом образце с уменьшением темпе-

ратуры от 300 до 5 К составляет всего лишь  $\approx 1.3$  раза. Это гораздо меньше, чем в случае кристаллов MnSi, в которых оно достигает 40–100 [11, 12]. Кроме того, в MnSi при  $T < T_C^0 \approx 29$  К наблюдается область относительно сильного уменьшения сопротивления, тогда как в образцах с небольшим избытком Mn ( $x \approx 0.52$  и 0.55) тенденция в поведении  $\rho_{xx}(T)$  иная: ниже 30 К сопротивление испытывает насыщение (рис. 2). Заметим также, что для образца J0504 ( $x \approx 0.625$ ) ниже 40 К в  $\rho_{xx}$  проявляется область резкого уменьшения сопротивления, что наблюдается в случае чистых пленок  $Mn_5Si_3$  [10]. Это свидетельствует о малом содержании в наших образцах остаточных (неконтролируемых) примесей углерода. Далее мы покажем, что в этих условиях магнитные свойства образцов с небольшим избытком Mn ( $x \approx 0.52$  и 0.55) кардинально отличаются от свойств монокристаллического MnSi.

Температурная зависимость намагниченности насыщения  $M_s(T)$  для образца с наименьшим избытком Mn ( $x \approx 0.52$ ), в котором проявляется одна магнитная фаза, приведена на рис. 3. (В образце с

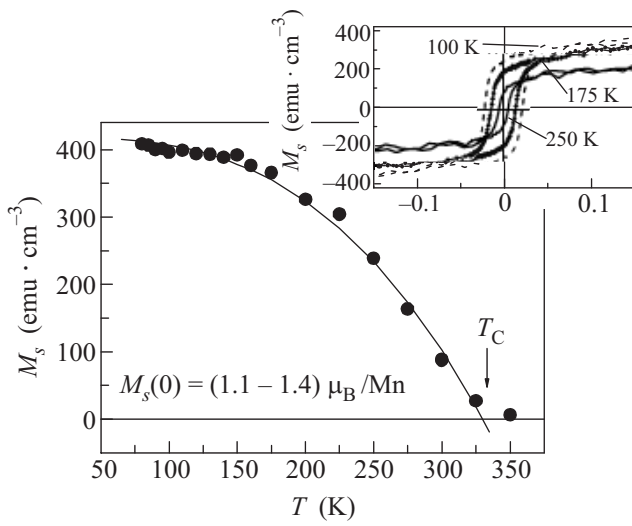


Рис. 3. Температурная зависимость намагниченности насыщения для структуры  $Si_{1-x}Mn_x/Al_2O_3$  J0604 ( $x \approx 0.52$ ). Символы – экспериментальные данные; сплошная линия – аппроксимация с помощью функции (1) с параметрами  $n = 1.4$ ,  $T_C = 330$  К и  $T_C^0 = 30$  К. На вставке – зависимость намагниченности от магнитного поля для данного образца при  $T = 100$ , 175 и 250 К

$x \approx 0.55$  вид зависимости  $M_s(T)$  имеет явный излом, указывающий на наличие двух магнитных фаз с различными температурами Кюри. Для оценки  $T_C$  этих фаз  $M_s(T)$  аппроксимировалась с помощью часто используемой упрощенной функции Бриллюэна вида  $M_s(T) = M_s(0)[1 - (T/T_C)^n]$  (обычно  $n = 1.5$ –2.5),

что дает в этом образце значения  $T_{C1} \approx 230$  К и  $T_{C2} \approx 490$  К; см. таблицу.) Качественная подгонка в этом случае обеспечивается при использовании функции  $M_s(T)$ , полученной в [4] в рамках модели [3] для системы  $Si_{1-x}Mn_x$  ( $x \approx 0.35$ ):

$$M_s(T) \approx M_s(0)\{1 - [T(T - T_C^0)/T_C(T_C - T_C^0)]^n\}, \quad (1)$$

где  $T_C^0 \approx 30$  К – “собственная” температура Кюри для MnSi. С использованием (1) для образца с  $x \approx 0.52$  получаем  $T_C \approx 330$  К, т.е. величину, на порядок большую, чем в случае MnSi. Существенно также, что в данном образце в магнитополевой зависимости намагниченности проявляется гистерезис вплоть до  $T \approx 250$  К (см. вставку к рис. 3), которого в геликоидальном магнетике MnSi не наблюдается. Отметим, что магнитный момент на атом Mn, оцененный по намагниченности насыщения для образцов J0604 ( $x \approx 0.52$ ) и J2112 ( $x \approx 0.55$ ) в пределе низких температур, составляет  $(1.1$ – $1.4)\mu_B$  и  $0.74\mu_B$  соответственно (нижняя оценка,  $1.1\mu_B$ , получена для плотности пленки  $Si_{1-x}Mn_x$ , равной плотности моносилицида MnSi). Между тем для стехиометрического MnSi момент на атом Mn в ФМ-области температур оказывается заметно меньше ( $\approx 0.4\mu_B$ ) [6]. Это свидетельствует о возникновении в наших образцах дефектов с ЛММ.

В образце J0806 ( $x \approx 0.44$ ) с недостатком Mn, также как и в образце J0504 ( $x \approx 0.625$ ) с сильным избытком Mn, ферромагнетизм в области температур  $T \geq 100$  К не был обнаружен. Об этом свидетельствуют результаты исследований не только намагниченности, но и аномального эффекта Холла (АЭХ), представленные ниже.

Напомним, что в магнитных материалах холловское сопротивление  $R_H$  определяется суммой нормальной и аномальной компонент эффекта Холла:

$$R_H d = \rho_H = R_0 B + R_s M, \quad (2)$$

где  $d$  – толщина слоя магнитного материала,  $R_0$  – константа нормального эффекта Холла, обусловленного силой Лоренца, который пропорционален магнитной индукции  $B$ ,  $R_s \propto (\rho_{xx})^\alpha$  – константа аномального эффекта Холла, пропорционального намагниченности  $M$ ,  $\alpha = 1$  в случае skew-scattering механизма АЭХ и  $\alpha = 2$  для intrinsic и side-jump механизмов [13].

Исследования АЭХ в неупорядоченных магнитных полупроводниках (МП) играют ключевую роль в идентификации ФМ-состояния данных объектов [1, 13], хотя АЭХ представляет собой довольно сложное квантовое явление, природа которого обсуждается до сих пор [13]. Одна из основных причин

такой “популярности” связана с тем, что при всех известных механизмах АЭХ его наблюдение указывает на наличие спин-поляризованных носителей в системе, в отличие от наблюдения намагниченности [14, 15]. Другими словами, АЭХ характеризует магнитное упорядочение лишь той части магнитной подсистемы, которая в основном определяет спиновую поляризацию носителей и наиболее важна для приложений МП в спинtronике.

Результаты измерений зависимостей от  $B$  холловского сопротивления при различных температурах для образцов, параметры которых приведены в таблице, показаны на рис. 4. В образцах с небольшим

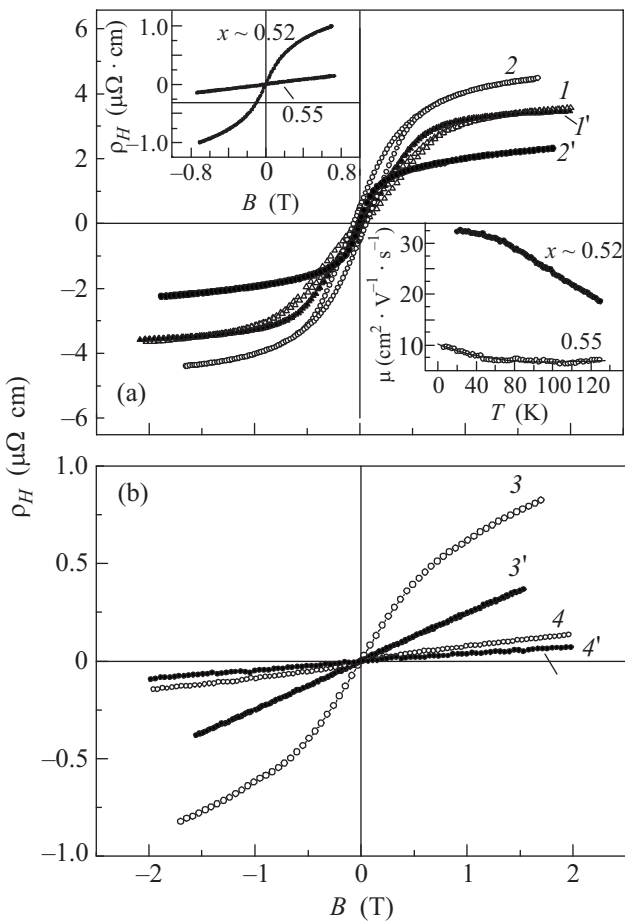


Рис. 4. (а) – Зависимости удельного холловского сопротивления  $\rho_H$  от магнитного поля для образцов J0604 ( $x \approx 0.52$ ) при  $T = 6$  К (1) и 197 К (1'); J2112 ( $x \approx 0.55$ ) при  $T = 6$  К (2) и 197 К (2'). На верхней вставке – зависимости  $\rho_H(B)$  при комнатной температуре для образцов с  $x \approx 0.52$  и 0.55. На нижней вставке – температурные зависимости подвижности носителей заряда  $\mu$  в данных образцах. (б) – Зависимости  $\rho_H(B)$  для образцов J0806 ( $x \approx 0.44$ ) при  $T = 5$  К (3) и 64 К (3') и J0504 ( $x \approx 0.625$ ) при  $T = 66$  К (4) и 144 К (4').

избытком марганца ( $x \approx 0.52$  и 0.55) наблюдается ярко выраженный АЭХ, доминирующий над нормальной компонентой эффекта Холла (рис. 4а). При этом при  $T = 6$  К АЭХ в них носит гистерезисный характер (кривые 1 и 2). Интересно отметить (см. рис. 4а), что в образце J2112 АЭХ заметно (в  $\approx 2$  раза) падает при 197 К (кривая 2'), тогда как в образце J0604, наиболее близком по составу к MnSi, величина аномальной компоненты эффекта Холла практически не изменяется в этом диапазоне температур; сравнив кривые 1 ( $T = 6$  К) и 1' ( $T = 197$  К). Более того, величина аномальной компоненты удельного холловского сопротивления  $\rho_H^a$  оказывается приблизительно в 5 раз выше, чем в ранее исследованных пленках  $\text{Si}_{1-x}\text{Mn}_x$  с  $x \approx 0.35$  [4]. Наконец, обратим внимание на то, что знак АЭХ во всех образцах положителен, тогда как в кристаллическом MnSi знак АЭХ отрицателен [11, 12]. Это указывает на заметные отличия полученных пленок от кристаллического силицида MnSi.

Напомним, что в образце с  $x \approx 0.55$  обнаружены две ФМ-фазы с заметно отличающимися температурами Кюри. Сильное изменение в АЭХ для этого образца в диапазоне температур 6–200 К указывает на то, что его проводимость является переключающейся. Высокотемпературная магнитная фаза с  $T_{C2} \approx 490$  К в этом случае является только магнитоактивной в силу ее “разрывности”. Другими словами, АЭХ для образца J2112 определяется низкотемпературной фазой с  $T_{C1} \approx 230$  К. Его падение в несколько раз при  $T \approx 200$  К естественно связать с переходом этой фазы в парамагнитное состояние. В образце же J0604 наблюдается одна фаза с  $T_C \approx 330$  К. Поэтому отсутствие заметного изменения АЭХ в диапазоне температур 6–200 К вполне объяснимо. Данный вывод подтверждается результатами исследования эффекта Холла, выполненного при комнатной температуре (см. верхнюю вставку к рис. 4а). Видно, что АЭХ в этом случае наблюдается лишь для образца J0604 ( $x \approx 0.52$ ). Важно отметить, что результаты исследования АЭХ хорошо коррелируют с данными измерений температурной и спектральной зависимостей магнитооптического эффекта Керра (они будут опубликованы отдельно совместно с результатами численных расчетов; см. ниже). В частности, эти измерения показывают, что доминирующей магнитооптической фазой в образце с  $x \approx 0.55$  является фаза с  $T_{C1} \approx 230$  К.

Что касается образца J0806 ( $x \approx 0.44$ ) с недостатком Mn и образца J0504 ( $x \approx 0.625$ ) с сильным избытком Mn, то эффект Холла в них выше 100 К носит линейный характер (см. рис. 4б). В случае образца

J0806 ( $x \approx 0.44$ ) АЭХ проявляется при гелиевой температуре (кривая 3). Однако уже при 64 К эффект Холла в этом образце носит линейный характер (кривая 3'). В образце J0504 ( $x \approx 0.625$ ) небольшая аномалия в эффекте Холла наблюдается при 66 К (кривая 4). При 144 К она полностью исчезает (кривая 4').

Для более детального понимания особенностей транспортных свойств и магнетизма изучаемых образцов  $Si_{1-x}Mn_x$  мы дополнительно проанализировали температурное поведение нормальной компоненты эффекта Холла с целью получения информации о концентрации носителей заряда и их подвижности. Согласно (2) в сильных полях в условиях насыщения намагниченности зависимость  $R_H(B)$  является линейной и определяется нормальной компонентой эффекта Холла, знак которой в нашем случае положителен (рис. 4), что соответствует дырочному типу проводимости, как в случае MnSi [11, 12].

Величина нормальной компоненты эффекта Холла находилась путем экстраполяции линейной зависимости кривых  $R_H(B)$  в полях  $\geq 1.2$  Тл. По наклону этих зависимостей (величина  $R_0$ ) была определена концентрация  $p$  дырок в образцах, значения которой при  $T = 100$  К приведены в таблице. Обращает на себя внимание тот факт, что минимальная концентрация носителей ( $1.5 \cdot 10^{21}$  и  $2.2 \cdot 10^{21}$  см $^{-3}$ ) достигается в образцах с небольшим избытком марганца: J0604 ( $x \approx 0.52$ ) и J2112 ( $x \approx 0.55$ ). При этом данная величина  $p$  существенно меньше (более чем на порядок), чем в случае MnSi, в котором  $p \approx 3.78 \cdot 10^{22}$  см $^{-3}$  при  $T = 300$  К и  $p \approx 8.5 \cdot 10^{22}$  см $^{-3}$  при  $T \leq 30$  К [11, 12]. Казалось бы, в этих условиях подвижность носителей заряда должна только уменьшаться по сравнению с MnSi, как это обычно происходит в вырожденных системах при введении в них заметного количества дефектов. В нашем случае, однако, ситуация оказалась обратной.

На нижней вставке к рис. 4а представлены зависимости подвижности носителей заряда  $\mu$  от температуры для образцов  $Si_{1-x}Mn_x$  с  $x \approx 0.52$  и 0.55. В образце J0604 ( $x \approx 0.52$ ) величина  $\mu$  ниже 60 К практически не изменяется и составляет 31–32.5 см $^2$ /В·с. Между тем в монокристаллическом MnSi при  $T = 60$  К подвижность составляет всего лишь  $\approx 2$  см $^2$ /В·с и возрастает до 28 см $^2$ /В·с при  $T = 4.2$  К [16], т.е. величина  $\mu$  в MnSi меньше, чем в случае неупорядоченной пленки  $Si_{1-x}Mn_x$  ( $x \approx 0.52$ ). Даже в образце J2112 с  $x \approx 0.55$ , в котором беспорядок настолько велик, что проявляются эффекты фазового расслоения, подвижность  $\mu \approx 7$  см $^2$ /В·с при 60 К, т.е. заметно выше, чем в MnSi.

Таким образом, представленные выше данные показывают, что постоянная решетки  $a$  неупорядоченных слоев  $Si_{1-x}Mn_x$  с  $x \approx 0.52$  совпадает с аналогичным параметром для MnSi. При этом температура Кюри слоев  $Si_{1-x}Mn_x$  с  $x \approx 0.52$  оказывается на порядок выше, чем в случае MnSi. Удивительно также, что несмотря на существенный структурный беспорядок полученных пленок, заметно выше в них оказывается и подвижность носителей заряда.

**4. Высокотемпературный ФМ, наблюдавшийся в пленках  $Si_{1-x}Mn_x$  с малым избытком Mn ( $x \approx \approx 0.52$ ), мы связываем с наличием двух факторов: 1) формированием дефектов с ЛММ; б) обменным взаимодействием между этими ЛММ по механизму [3]. Существование дефектов с ЛММ подтверждается численными расчетами, выполненными в рамках теории функционала электронной плотности полнопотенциальным линеаризованным методом присоединенных плоских волн (FLAPW) [17]. Обменно-корреляционные эффекты учитывались с помощью обобщенного градиентного приближения (GGA) [18]. Вычисление электронной структуры проводилось в суперячейках  $(2 \times 2 \times 2)a^3$ , включающих от 60 до 64 атомов. Положения всех атомов в суперячейках были оптимизированы. Зонные энергии и электронные волновые функции рассчитывались с включением эффектов спин-орбитального взаимодействия (СОВ). Интегрирование в  $k$ -пространстве выполнялось методом тетраэдротов по  $\sim 340k$ -точкам в неприводимой части зоны Бриллюэна.**

Расчеты электронных структур  $Si_{1-x}Mn_x$  с избытком Mn, который моделировался вакансиями на Si-подрешетке (рис. 5), показывают, что при  $x \approx \approx 0.51$ –0.53 средний магнитный момент на атом Mn в основном состоянии  $m_{Mn} = (1.1$ – $1.5)\mu_B$ . Это значение существенно превышает величину  $m_{Mn} \approx 0.4\mu_B$  для стехиометрического MnSi [6] и хорошо согласуется с результатами эксперимента (см. рис. 3). При этом пиковые значения  $m_{Mn}$  достигают  $1.99\mu_B$ ,  $2.58\mu_B$  и  $3.32\mu_B$  при  $x \approx 0.51$ , 0.52 и 0.53 соответственно в позициях Mn вблизи Si-вакансий. На рис. 6 приведены плотности электронных состояний (ПЭС), рассчитанные для  $Si_{1-x}Mn_x$  ( $x \approx 0.51$ , 0.52 и 0.53) в ФМ-фазах. Следует отметить, что во всех трех случаях реализуется полуметаллическое ФМ-состояние с целочисленным полным магнитным моментом на суперячейку, т.е. в спин-подзоне большинства электронов уровень Ферми попадает в узкую запрещенную щель (полупроводящее состояние), в то время как в спин-подзоне меньшинства электронов уровень Ферми пересекает зоны (металлическое состояние). Интересна также особенность ПЭС ниже уровня Ферми

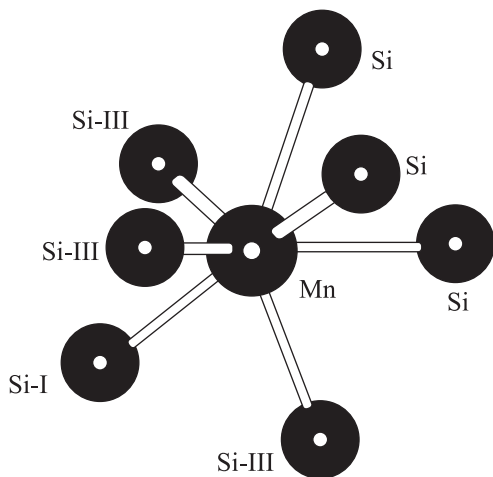


Рис. 5. Фрагмент суперячейки с атомом Mn, вблизи которого создаются Si-вакансии, и семью ближайшими соседями Si. Моновакансия создается на узле Si-I ( $x \approx 0.51$ ). Три вакансии создаются на три узлах Si-III ( $x \approx 0.52$ ). Четыре – на узле Si-I и трех узлах Si-III ( $x \approx 0.53$ )

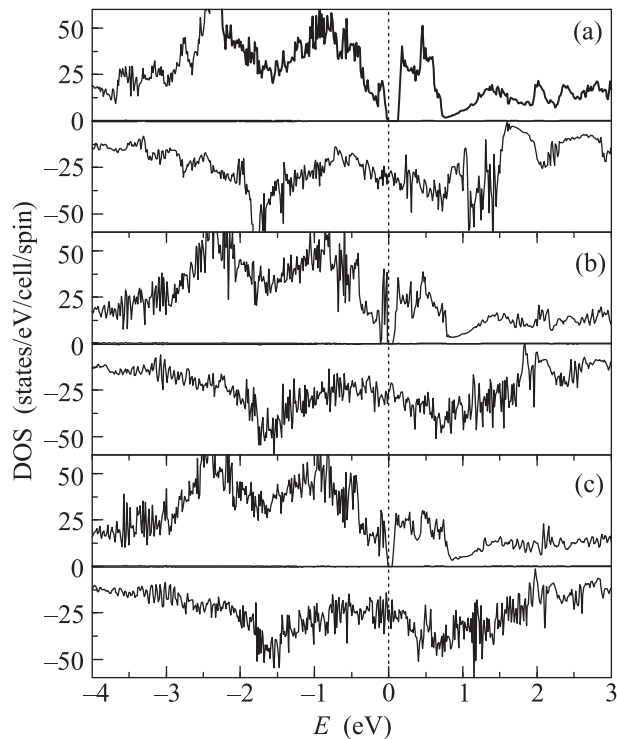


Рис. 6. Спин-поляризованные электронные плотности состояний  $\text{Si}_{1-x}\text{Mn}_x$  с избытком Mn для концентраций  $x \approx 0.51$  (а),  $0.52$  (б) и  $0.53$  (с). Сплошные линии – полные плотности состояний, пунктирная линия – уровень Ферми, совпадающий с нулевой энергией

для  $x \approx 0.52$  (рис. 6б), где в спин-подзоне большинства электронов от потолка валентной зоны отшепля-

ются две близко лежащие по энергии зоны, образующие локальный пик ПЭС и содержащие два электрона со спином вверх. Причины образования этого пика, а также результаты расчетов оптики и магнитопотики для  $\text{Si}_{1-x}\text{Mn}_x$  с  $x \approx 0.55$  будут опубликованы позднее.

Кроме того, мы провели для  $\text{Si}_{1-x}\text{Mn}_x$  ( $x \approx 0.52$ ) дополнительные расчеты по исследованию влияния замещения атома Si на атом Mn и внедрения одного атома Mn. При этом для получения указанных концентраций Mn нам потребовалась суперячейка  $(1 \times 2 \times 3)a^3$  и  $(1 \times 1 \times 3)a^3$  соответственно. Как показали расчеты, оба случая (замещение и внедрение) не согласуются с экспериментом: при замещении атома Si на атом Mn средний магнитный момент на атом Mn  $m_{\text{Mn}} = 0.84\mu_B$ , а при внедрении он составляет  $0.34\mu_B$ . В целом оба случая характерны тем, что в них реализуется не ферромагнитное, а ферримагнитное состояние, причем внедренный атом Mn – “магнитомертвый” ( $m_{\text{Mn}} = 0.09\mu_B$ ), в то время как замещенный атом Mn обладает большим ( $m_{\text{Mn}} = -2.08\mu_B$ ) антипараллельно направленным (по отношению к другим атомам Mn) локальным моментом.

Вернемся к объяснению природы высокотемпературного ФМ в нестехиометрических пленках  $\text{Si}_{1-x}\text{Mn}_x$  ( $x \approx 0.5$ ) с помощью модели [3]. Недавно в литературе появились серьезные аргументы [16, 19], ставящие под сомнение однозначную интерпретацию механизма магнитного упорядочения в стехиометрическом MnSi в рамках схемы [6]. В частности, на основе комплексного анализа экспериментальных данных по температурной и магнитополевой зависимостям сопротивления, а также электронного парамагнитного резонанса в [16] было предложено объяснение природы магнетизма в стехиометрическом MnSi в рамках модели, более сложной, чем [6], предполагающей наличие двух взаимодействующих компонент спиновой плотности (“зонной” и “локализованной”). Авторами [16, 19] была высказана гипотеза о формировании в системе вследствие сильного антиферромагнитного обменного взаимодействия этих компонент локальных областей ближнего магнитного порядка – так называемых спиновых поляронов. На наш взгляд, не меньшее право на существование имеет и гипотеза о формировании состояния типа Кондо, поскольку речь идет о металлическом материале с достаточно большой концентрацией носителей заряда (дырок). Обе эти гипотезы объясняют малую величину эффективного магнитного момента на Mn в области низких температур и качественно согласуются с результатами

[7], свидетельствующими о серьезной перестройке электронного спектра системы при понижении температуры в парамагнитной фазе (ниже 50–60 К, но во всяком случае несколько выше “собственной” температуры Кюри). Подобная перестройка может сопровождаться появлением резонансов кондовского или спин-поляронного типов. Это должно приводить к существенному падению подвижности носителей. Не очень ясно, насколько сильно наличие указанных резонансов модифицирует механизм перехода к дальнему ФМ-порядку [6] в стехиометрическом MnSi, но данный вопрос выходит за рамки настоящей работы.

Более существенными для нас являются вопросы о существовании кондовских или спин-поляронных резонансов в изучаемых нестехиометрических пленках  $Si_{1-x}Mn_x$  ( $x \approx 0.5$ ) в области высоких температур (выше 100 К) и о возможной модификации механизма высокотемпературного ФМ [3]. Выше было показано, что магнитные дефекты образуются в нестехиометрических пленках  $Si_{1-x}Mn_x$  ( $x \approx 0.5$ ) уже при незначительном избыточном содержании Mn ( $x \leq 0.55$ ). При этом концентрация дырок в таком материале падает более чем на порядок по сравнению с монокристаллическим MnSi, а температура Кюри начинает превышать 300 К. Удивительным представляется то обстоятельство, что несмотря на заметную дефектность пленок  $Si_{1-x}Mn_x$  даже при  $x = 0.52$ , следующую из данных рентгеновских измерений (ширина кривой качания  $\Delta\omega = 0.4^\circ$  при  $2\theta = 44.43^\circ$ ), подвижность дырок в них  $\mu = (20–32.5) \text{ см}^2/\text{В}\cdot\text{с}$  в области температур 5–150 К оказывается намного выше, чем в монокристаллическом MnSi, где  $\mu \approx 2 \text{ см}^2/\text{В}\cdot\text{с}$  при  $T = 60$  К [16]. Эти факты мы объясняем разрушением кондовских или спин-поляронных резонансов в нестехиометрических пленках  $Si_{1-x}Mn_x$  ( $x \approx 0.5$ ), по-видимому вследствие одновременных падения концентрации дырок и усиления эффектов их некогерентного рассеяния на магнитных дефектах. Заметим, что наличие подобных резонансов сильно увеличивает эффективную массу носителей заряда в стехиометрическом MnSi (до  $17m_0$  при  $T = 10$  К [20]). Таким образом, мы пока не видим никаких экспериментальных оснований для серьезной модификации модели [3] при объяснении высокотемпературного ФМ в нестехиометрических пленках  $Si_{1-x}Mn_x$  ( $x \approx 0.5$ ).

В заключение заметим, что при сопоставлении расчетных значений эффективного магнитного момента на атом Mn с экспериментальными (см. рис. 3) необходимо иметь в виду склонность к образованию в пленках  $Si_{1-x}Mn_x$  ( $x \approx 0.5$ ) антиферромагнитного силицида марганца  $Mn_5Si_3$  [21]. Вклад в намагни-

ченность от этой фазы линеен по полю и вычитается при анализе ФМ-компоненты намагниченности. Поэтому эффективные значения магнитного момента, приведенные для образца с  $x \approx 0.55$ , могут быть заниженными относительно расчетных.

Работа выполнена при поддержке грантов РФФИ # 10-02-00698, 10-02-00118, 10-07-00492, 11-07-12063, 11-02-12200, 11-07-12050, 11-02-92478 и Министерства образования и науки РФ (госконтракты # 07.514.12.4033 и 16.513.11.3088).

1. S. Zhou and H. Schmidt, Materials **3**, 5054 (2010).
2. А. Ф. Орлов, А. Б. Грановский, Л. А. Балагуров и др., ЖЭТФ **136**, 703 (2009).
3. V. N. Men'shov, V. V. Tugushev, and S. Caprara, Phys. Rev. B **83**, 035201 (2011); В. Н. Меньшов, В. В. Тугушев, ЖЭТФ **140**, 140 (2011).
4. B. A. Aronzon, V. V. Rylkov, S. N. Nikolaev et al., Phys. Rev. B **84**, 075209 (2011); С. Н. Николаев, Б. А. Аронзон, В. В. Рыльков и др., Письма в ЖЭТФ **89**, 707 (2009).
5. S. Caprara, E. Kulatov, and V. V. Tugushev, Eur. Phys. J. B **85**, 149 (2012).
6. T. Moriya, *Spin Fluctuations in Itinerant Electron Magnetism*, Springer, Berlin, 1985.
7. С. М. Стишов, А. Е. Петрова, УФН **81**, 1157 (2011).
8. Е. В. Хайдуков, О. А. Новодворский, В. В. Рочева и др., Письма в ЖТФ **37**, 39 (2011); А. А. Лотин, О. А. Новодворский, Е. В. Хайдуков и др., ФТП **44**, 439 (2010); О. А. Новодворский, А. А. Лотин, Е. В. Хайдуков, Устройство для лазерно-плазменного напыления, патент РФ на полезную модель # 89906, 20.12.2009, бул. #35.
9. N. Ohtsu, M. Oku, A. Nomura et al., Appl. Surf. Sci. **254**, 3288 (2008).
10. C. Sürgers, M. Gajdzik, G. Fischer et al., Phys. Rev. B **68**, 174423 (2003); B. Gopalakrishnan, C. Sürgers, R. Montbrun et al., Phys. Rev. B **77**, 104414 (2008).
11. M. Lee, Y. Onose, Y. Tokura, and N. P. Ong, Phys. Rev. B **75**, 172403 (2007); M. Lee, W. Kang, Y. Onose et al., Phys. Rev. Lett. **102**, 186601 (2009).
12. A. Neubauer, C. Pfleiderer, R. Ritz et al., Physica B **404**, 3163 (2009).
13. N. Nagaosa, J. Sinova, S. Onoda et al., Rev. Mod. Phys. **82**, 1539 (2010).
14. T. Dietl, in *Modern Aspects of Spin Physics, Lecture Notes in Physics* (ed. by W. Potz, J. Fabian, U. Hohenester), v. 712, Springer-Verlag, Berlin, Heidelberg, 2007, p. 1.
15. В. В. Рыльков, Б. А. Аронзон, Ю. А. Данилов и др., ЖЭТФ **127**, 838 (2005).

16. С. В. Демишев, А. В. Семено, А. В. Богач и др., Письма в ЖЭТФ **93**, 231 (2011); S. V. Demishev, V. V. Glushkov, I. I. Lobanova et al., Phys. Rev. B **85**, 045131 (2012).
17. P. Blaha, K. Schwarz, G. K. H. Madsen et al., Wien2k, *An Augmented Plane Wave+Local Orbitals Program for Calculating Crystal Properties*, Karlheinz Schwarz, Techn. Universitat Wien, Austria, 2001.
18. J. P. Perdew, S. Burke, and M. Ernzerhof, Phys. Rev. Lett. **77**, 3865 (1996).
19. V. G. Storchak, J. H. Brewer, R. L. Lichti et al., Phys. Rev. B **83**, 140404(R) (2011).
20. F. P. Mena, D. van der Marel, A. Damascelli et al., Phys. Rev. B **67**, 241101(R) (2003).
21. A. B. Gokhale and R. Abbaschian, Bulletin of Alloy Phase Diagrams **11**(5), 468 (1990).